

Fig.1
PRIOR ART

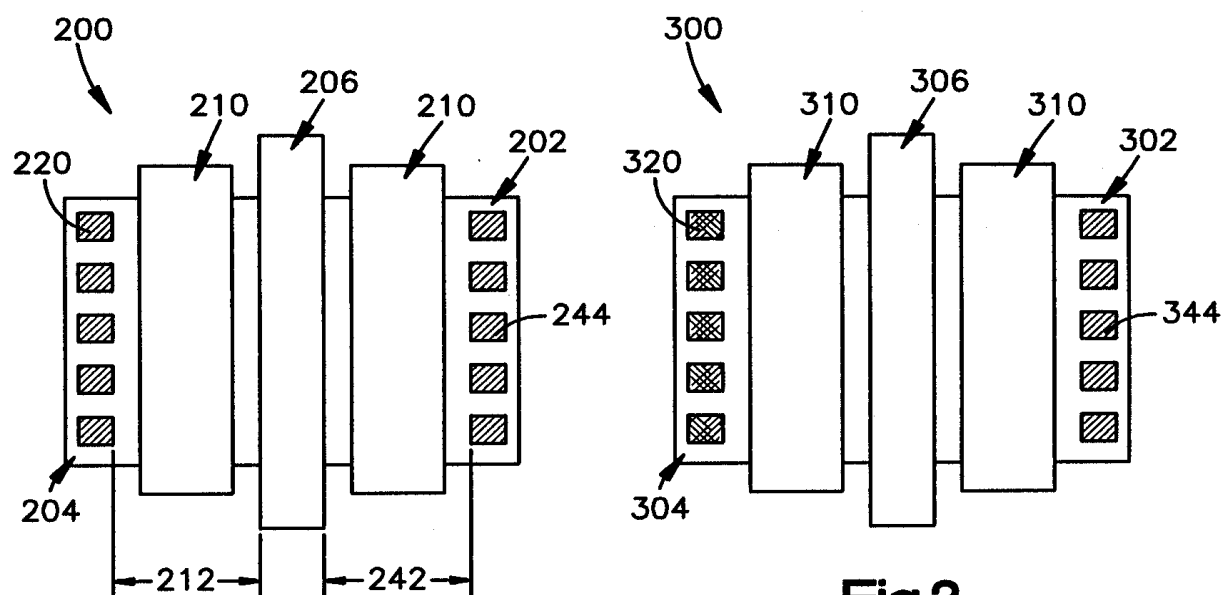


Fig.3

Fig.2

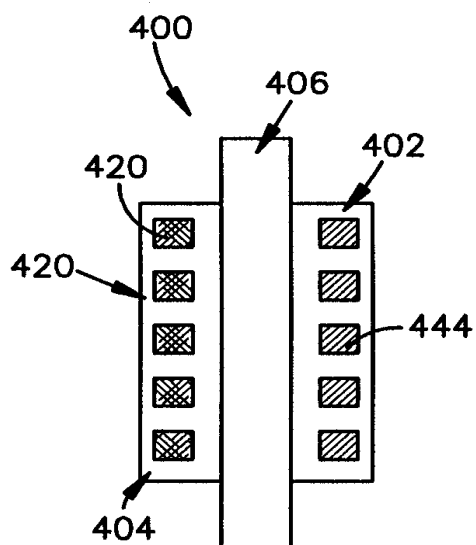


Fig.4

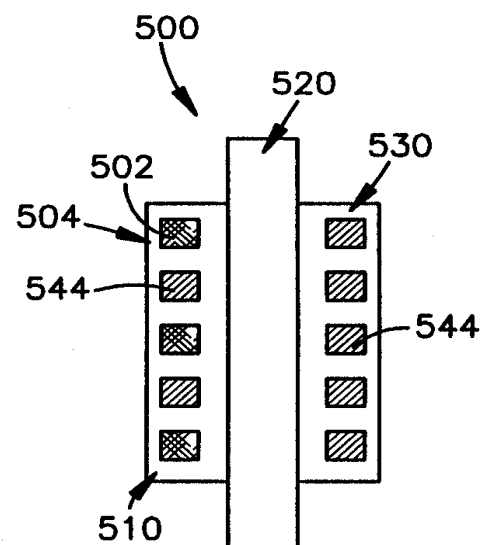


Fig.5

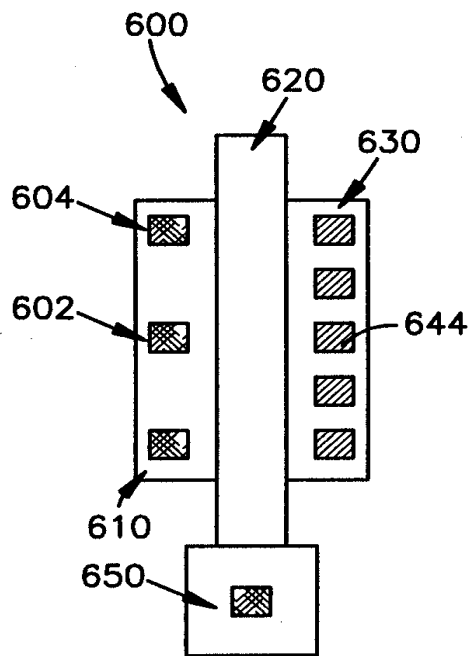


Fig.6

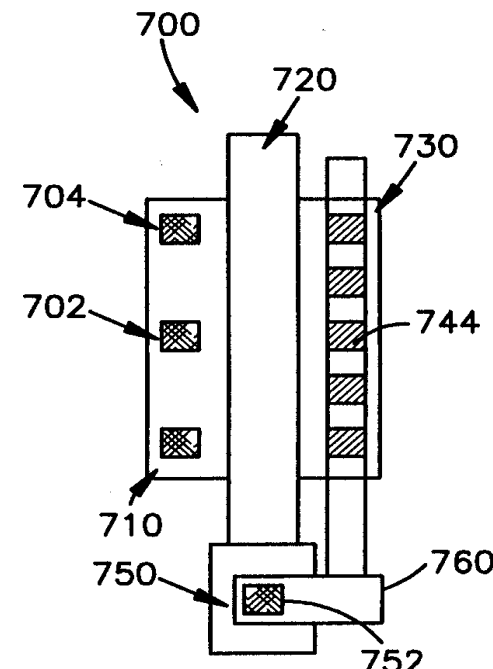


Fig.7

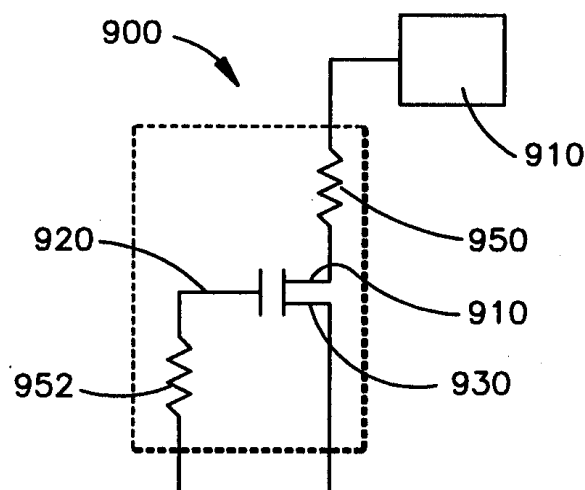
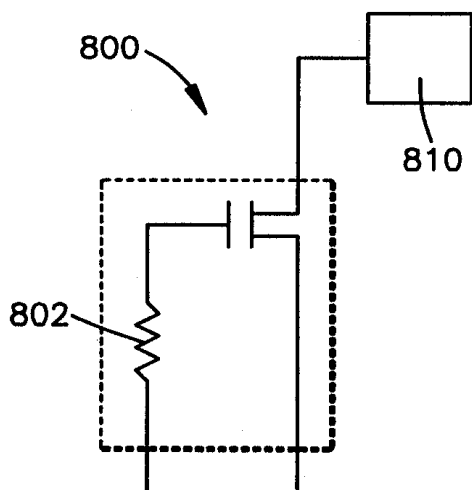


Fig.8

Fig.9

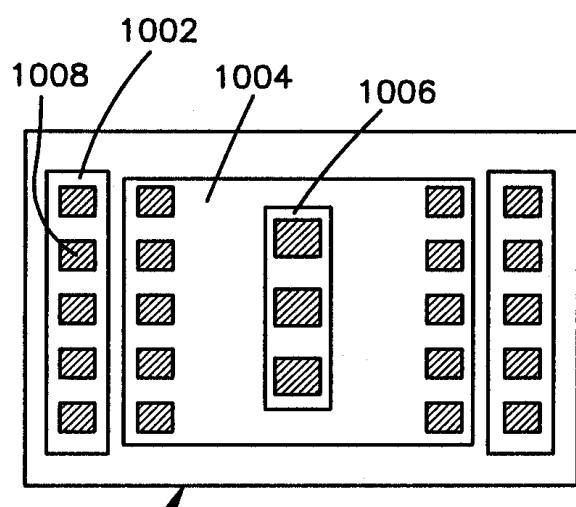


Fig.10

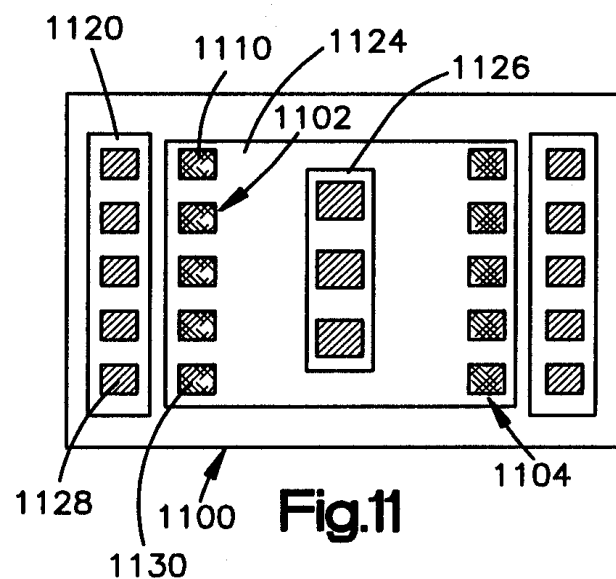


Fig.11

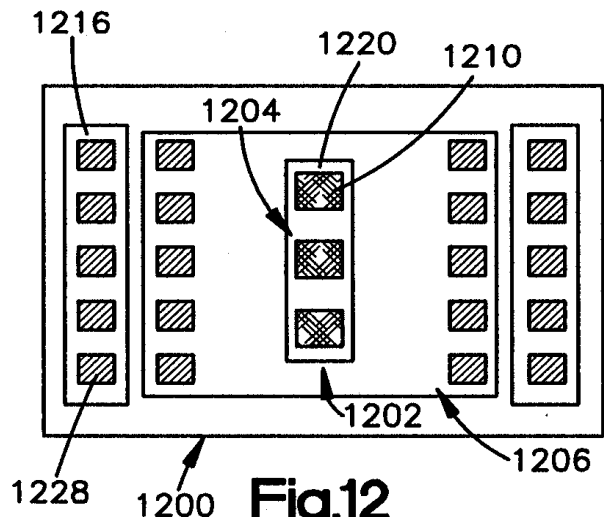


Fig.12

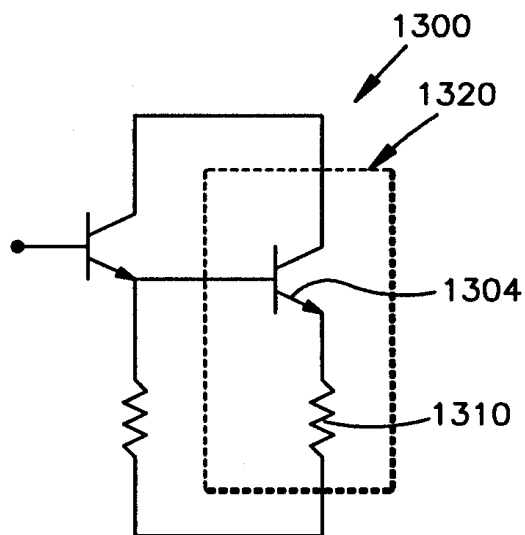


Fig.13

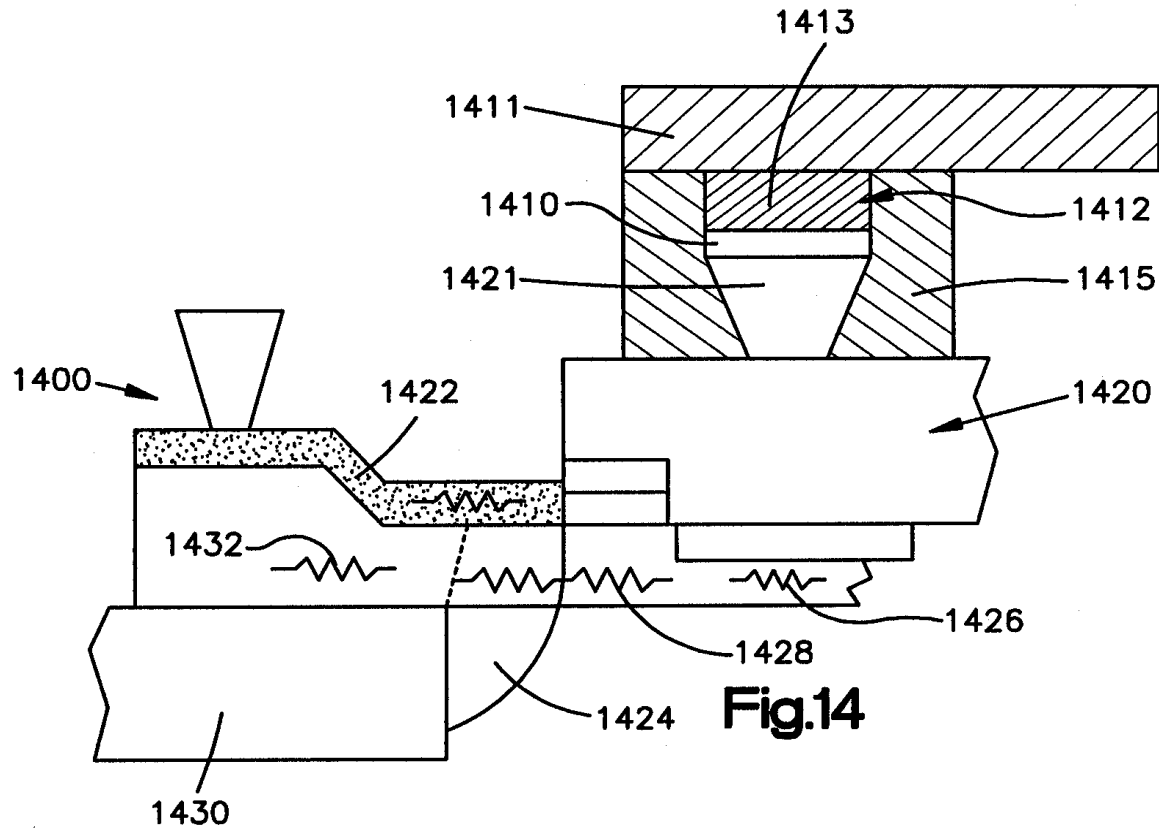


Fig.14

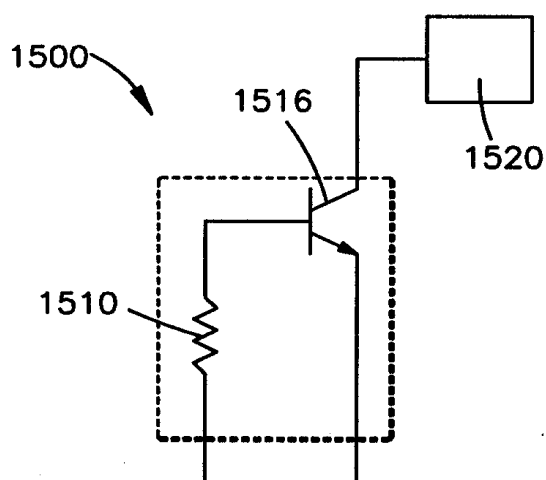


Fig.15

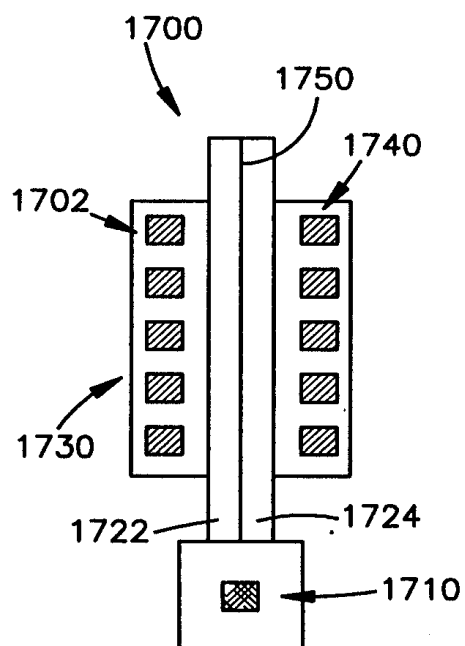


Fig.17

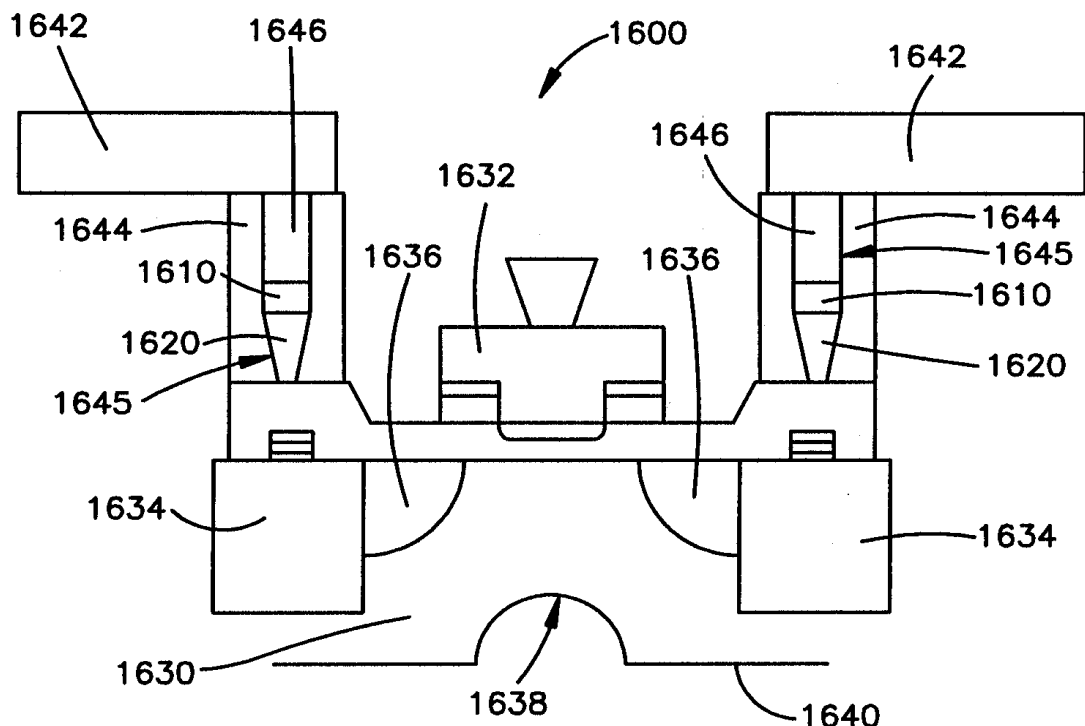


Fig.16

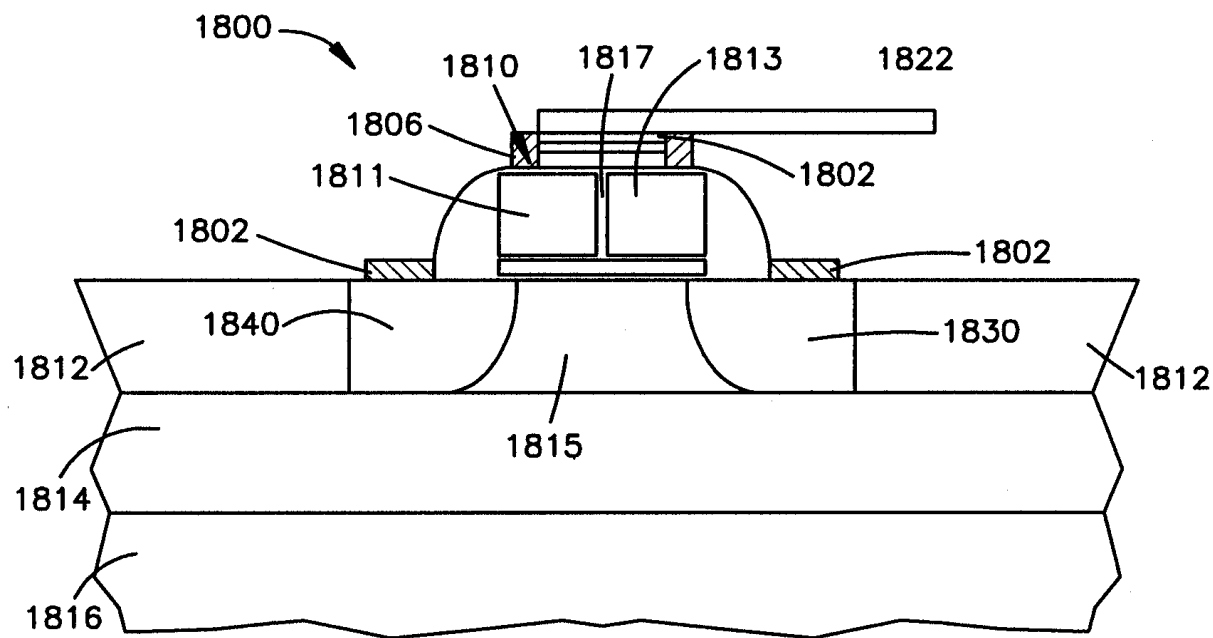


Fig.18

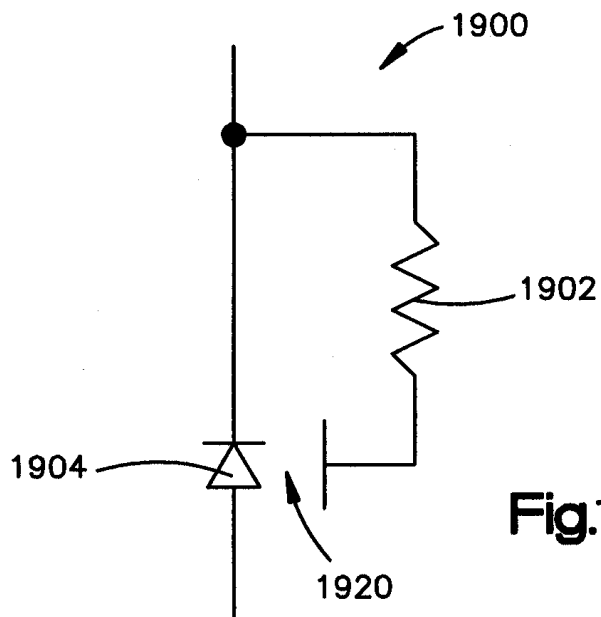


Fig.19

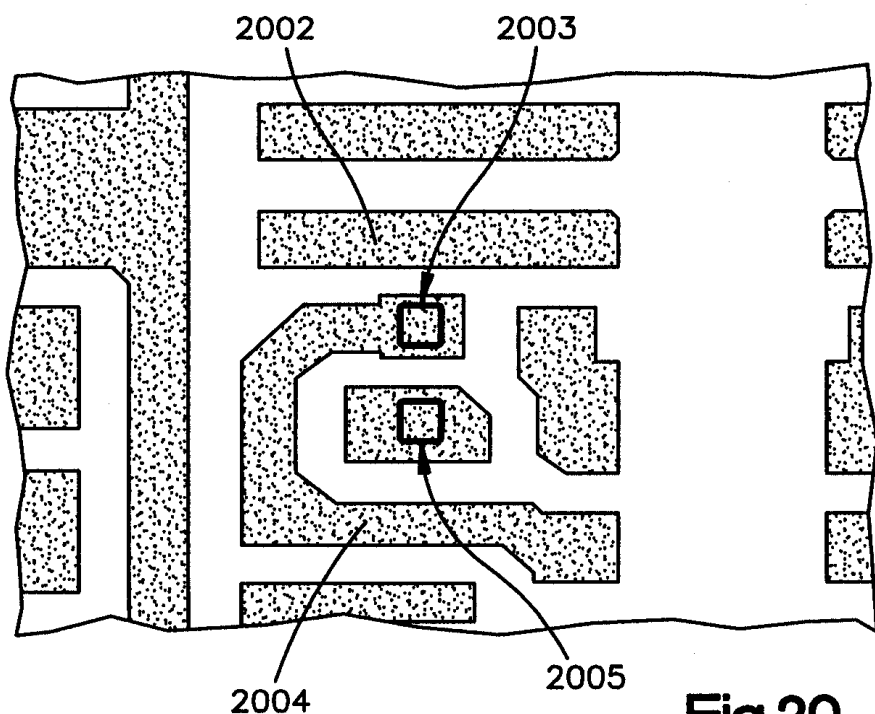


Fig.20

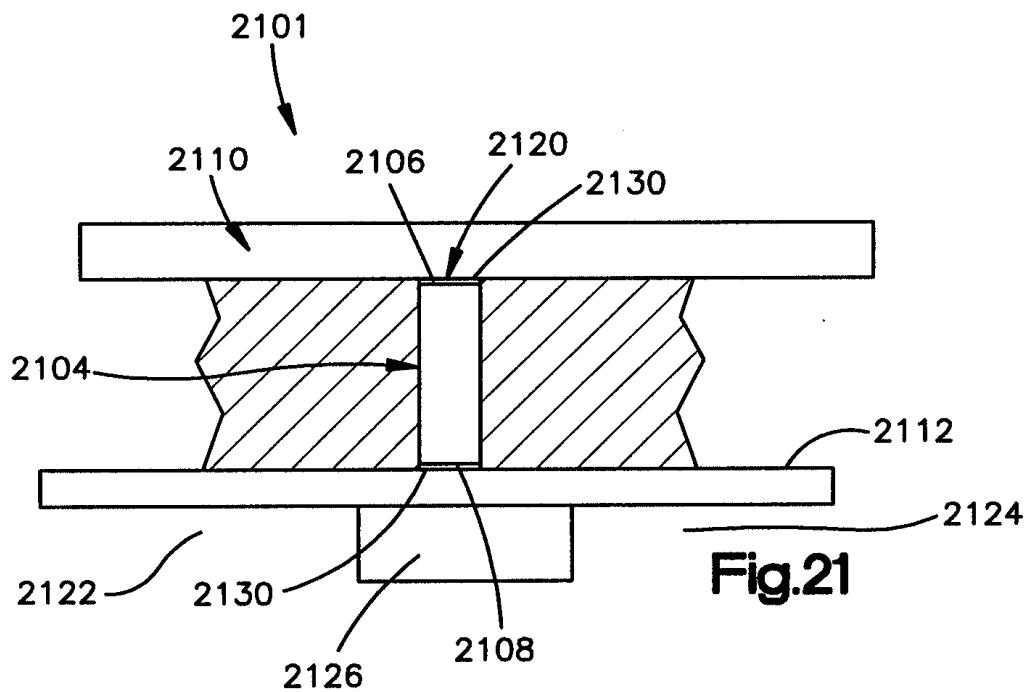


Fig.21

8/12

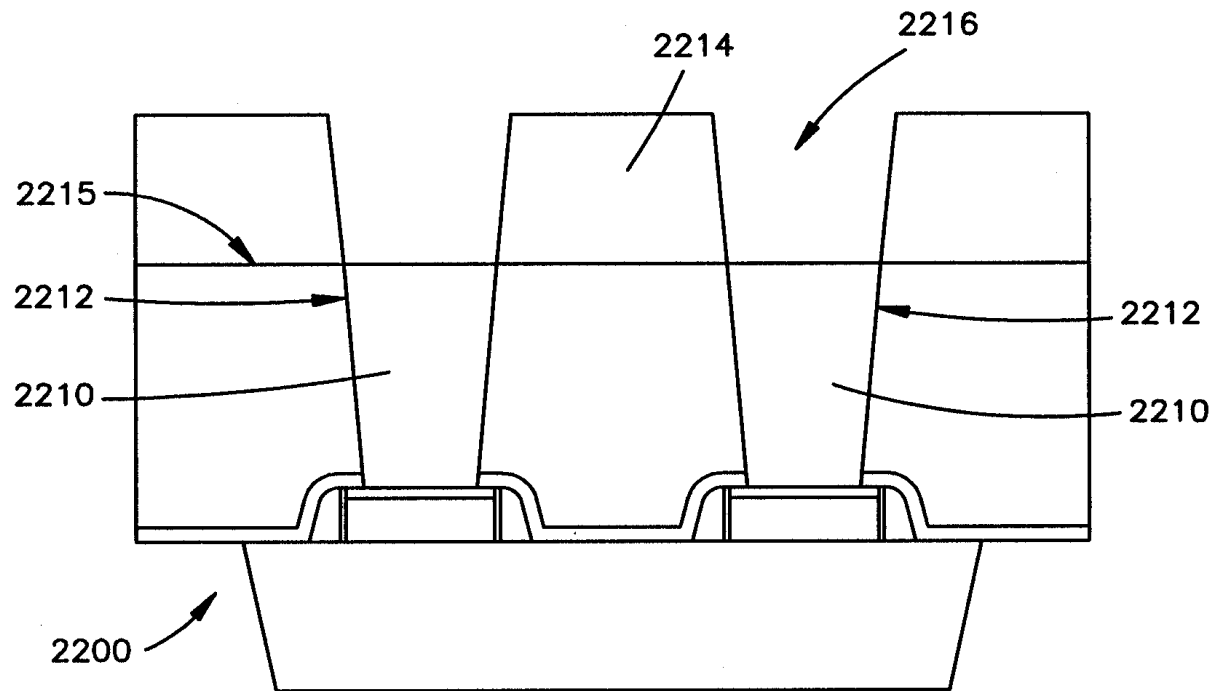


Fig.22a

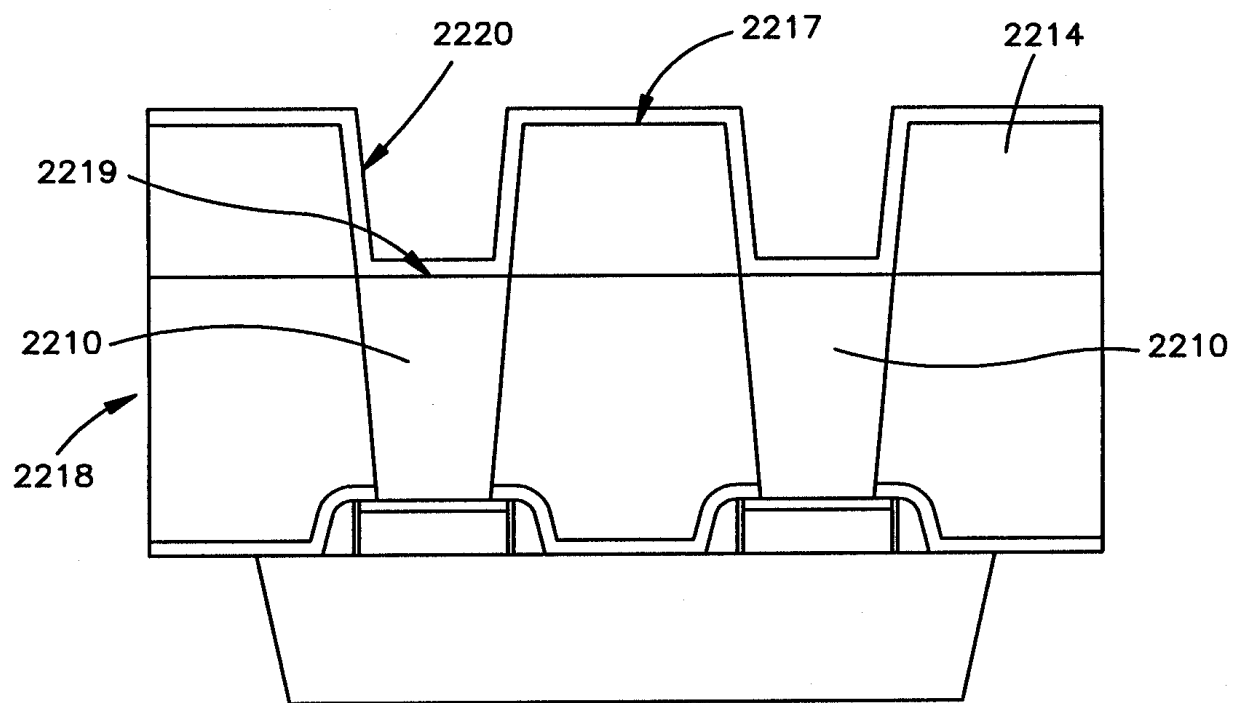


Fig.22b

9/12

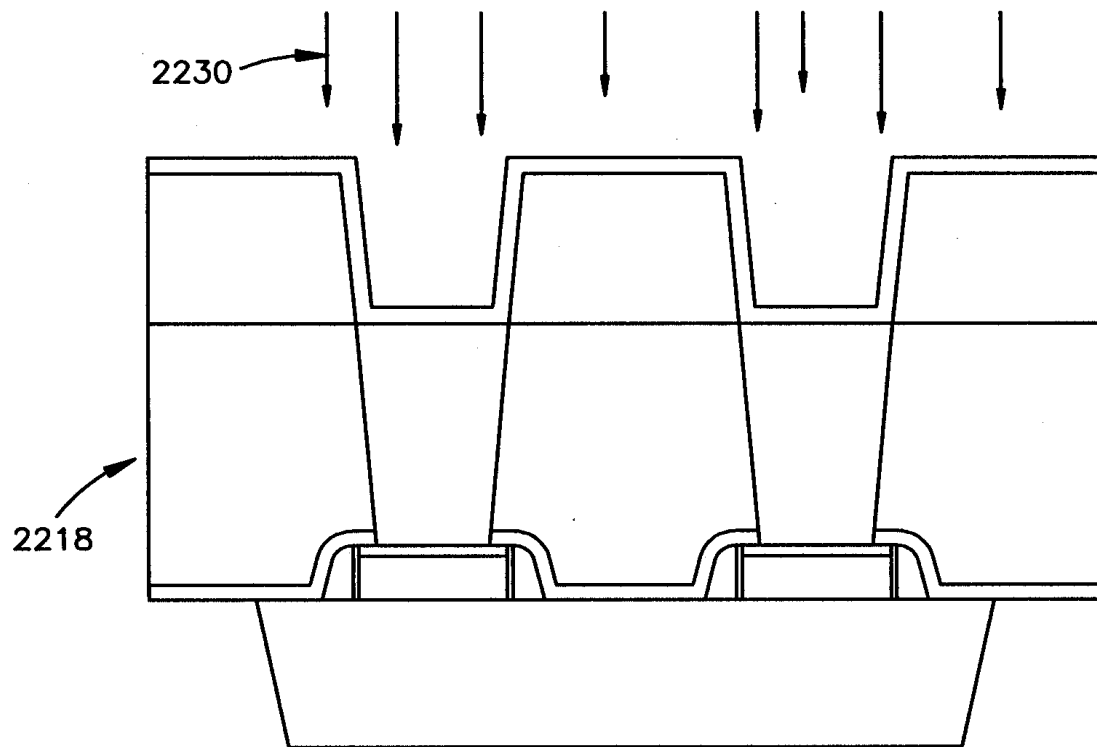


Fig.22c

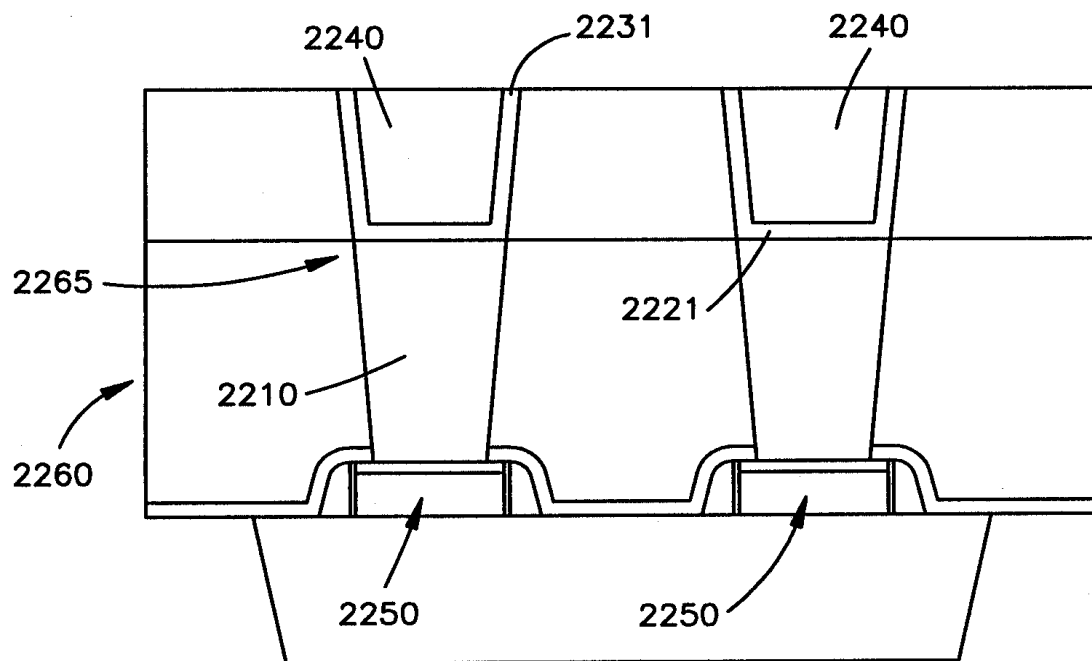


Fig.22d

10/12

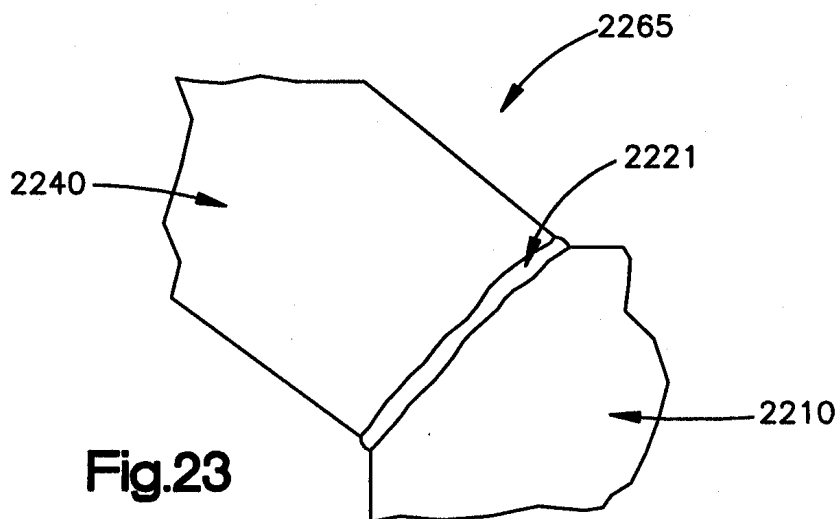


Fig.23

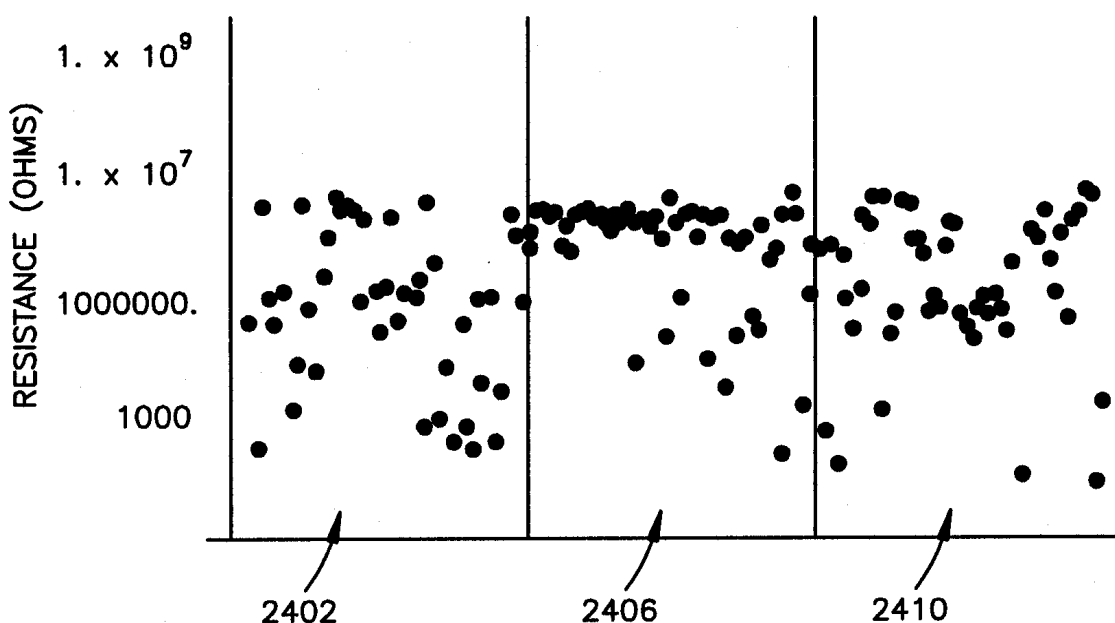


Fig.24

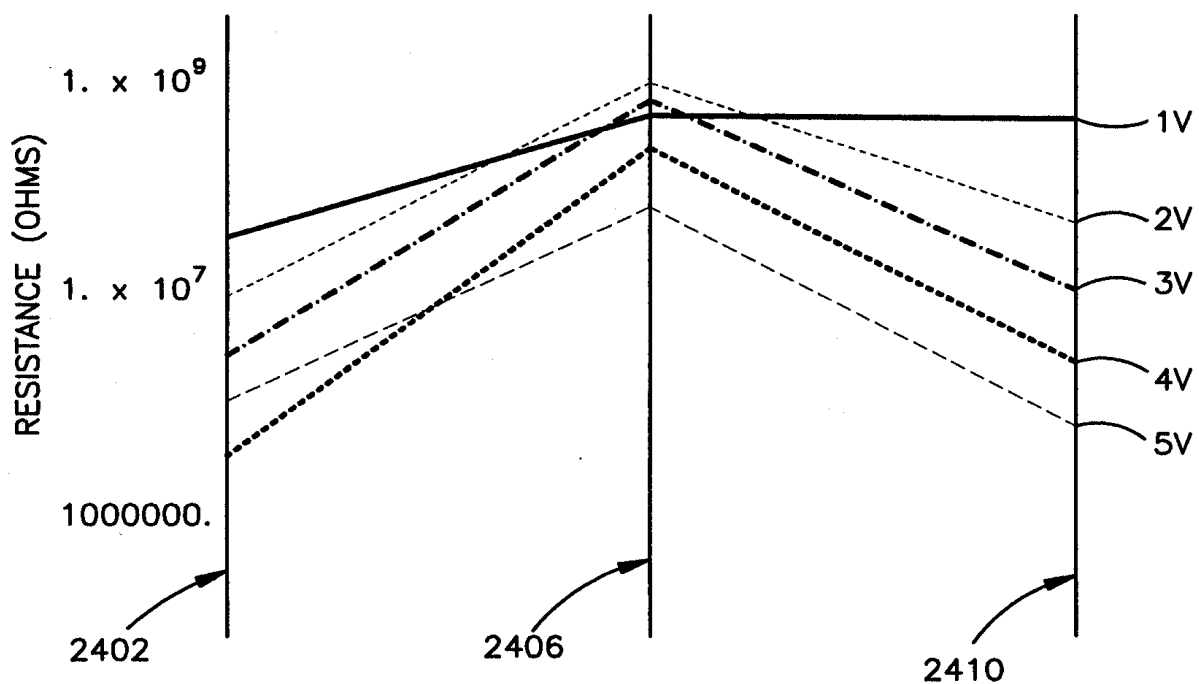


Fig.25

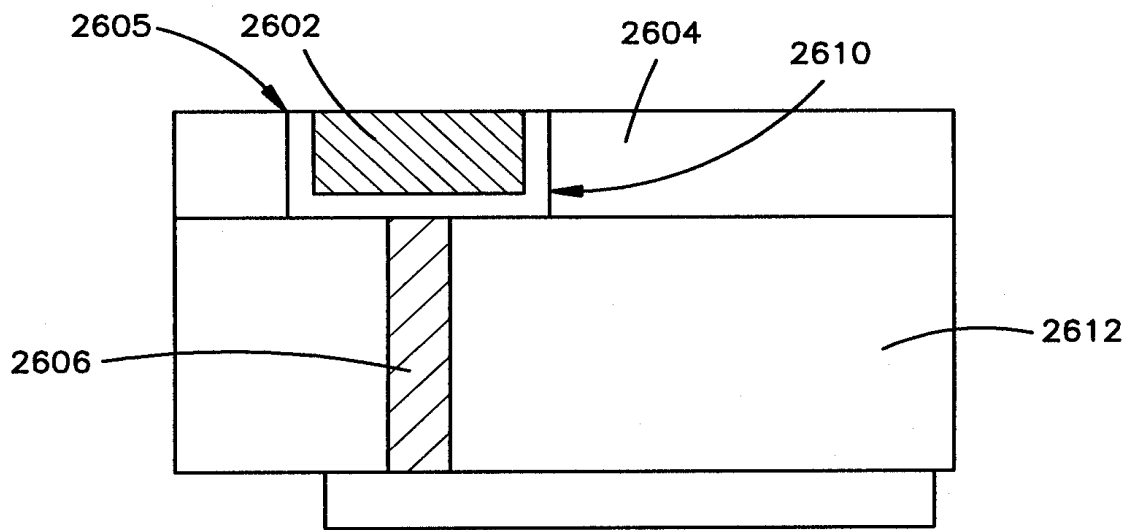


Fig.26

12/12

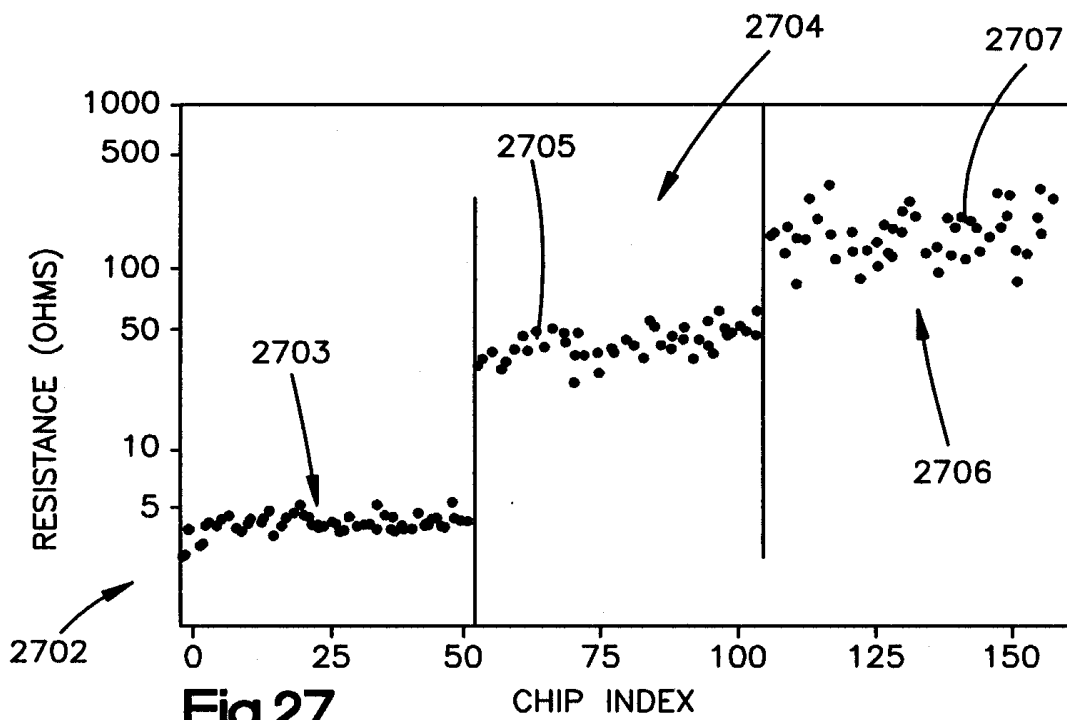


Fig.27

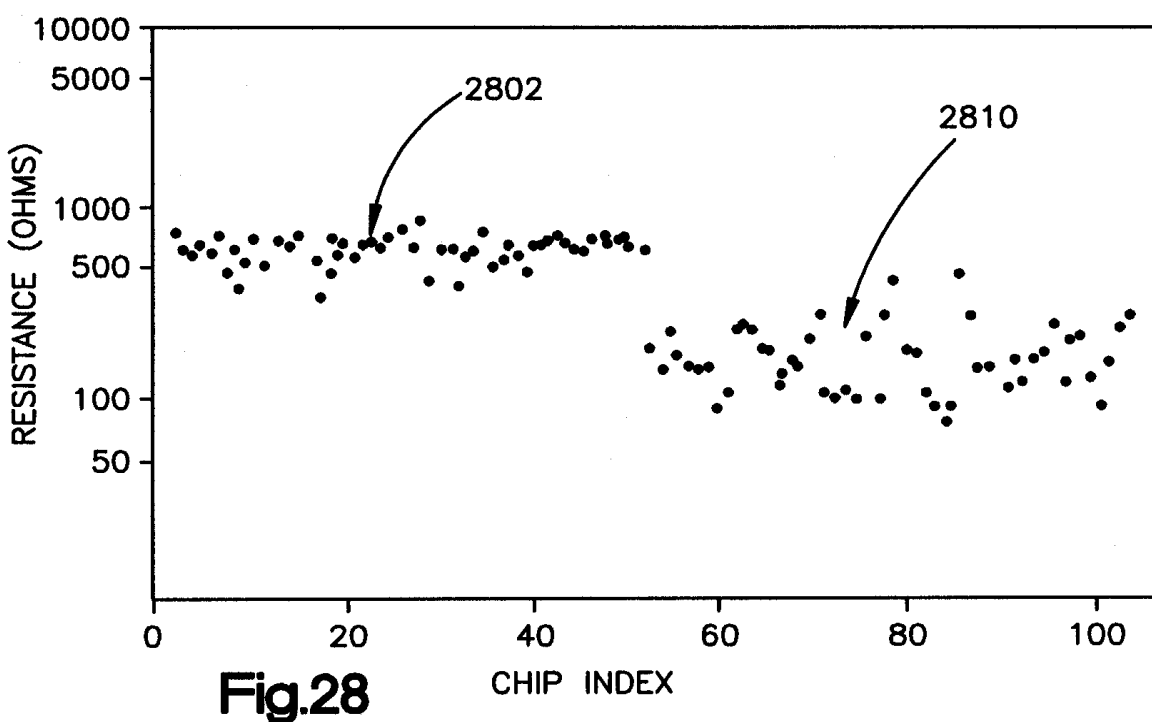


Fig.28